

ESPERIMENTI CON FASCI DI NEUTRINI

- Cosa sono i neutrini
- Fasce di neutrini
- Esperimenti per studiare i neutrini (*)
- Esperimenti con > per studiare altre particelle (*)
- Esperimenti in corso

(*) NON una rassegna di questi esperimenti,
ma la descrizione di alcuni di essi,
particolarmente semplici

A. MARZARI CHIESA

Cuneo 3/11/94

(2)

MASSA \Rightarrow INTERAZIONE GRAVITAZIONALE
 CARICA \Rightarrow " ELETTROMAGNETICA
 CARICA DI "COLORE" \Rightarrow " NUCLEARE FORTE
 " DEBOLE \Rightarrow " " DEBOLE

IL NEUTRINO HA: MASSA ~ 0

CARICA = 0

CARICA DI COLORE = 0

\Rightarrow SOLO INTERAZIONE DEBOLE

(probabilità di interagire molto piccola: particelle "penetrante") \rightarrow

PARTICELLE "ELEMENTARI":

QUARK

$$(u) \ (d) \ (c) \ (s) \ (t) \ (b)$$

+ antiquark

\downarrow

ADRONI

(int. forte)

LEPTONI

$$(e^-) \ (\nu_e) \ (\mu^-) \ (\nu_\mu) \ (\tau^-) \ (\nu_\tau)$$

+ anti-leptoni

(no int. forte)

3 "FAMIGLIE"

\Rightarrow 3 "NUMERI LEPTONICI"
separatamente conservati

ALCUNI NUMERI

$$\tilde{\sigma}_\nu \approx 10^{-38} \text{ cm}^2 \text{ a } 1 \text{ GeV}$$

→ i neutrini possono attraversare la Terra, il Sole, il Sistema Solare, la nostra galassia senza interagire

- in ogni cm^3 dell' Universo attuale si trovano ≈ 330 ν prodotti nel Big Bang (ν fossili)
- il sole produce $\approx 10^{38}$ ν al secondo di questi $\approx 6 \times 10^{10} / \text{s}$ attraversano ogni cm^2 della superficie terrestre - la loro energia è $< 20 \text{ MeV}$
- ogni secondo, un uomo è attraversato da:
- 4×10^{14} ν provenienti dal sole
- 5×10^{10} ν da radioattività naturale
- $10^{10} \div 10^{12}$ ν da centrali nucleari
- il corpo umano contiene $\approx 20 \text{ mg}$ di ^{40}K che è β -radioattivo → emette $\approx 3,4 \times 10^8$ ν al giorno

FASCI DI NEUTRINI (ν_μ)

(3)

π e K , copiosamente prodotti nelle interazioni nucleari forti (es. urti $p-p$, $p-N$) decadono producendo neutrini (o antineutrini):

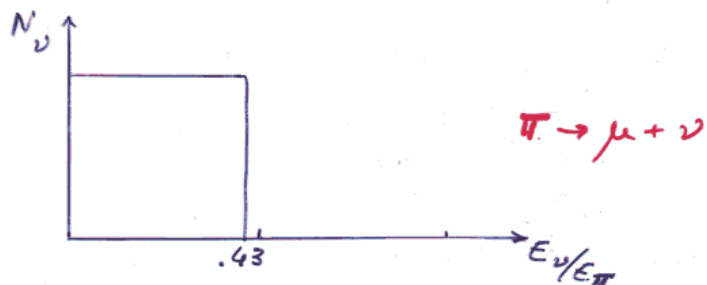
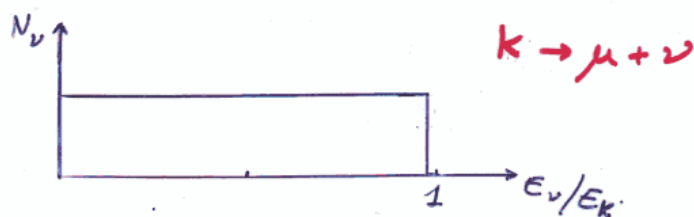
$$\pi^\pm \rightarrow \mu^\pm + \nu_\mu (\bar{\nu}_\mu) \quad \text{B.R. 100\%}$$

$$K^\pm \rightarrow \mu^\pm + \nu_\mu (\bar{\nu}_\mu)$$

Notare:

- entrambe forniscono ν_μ o $\bar{\nu}_\mu$
- da adroni positivi $\rightarrow \nu_\mu$; negativi $\rightarrow \bar{\nu}_\mu$
- le reazioni sono a due corpi:
quindi:

$$0 < \frac{E_\nu}{E_{\pi/K}} < 1 - \frac{m_\mu^2}{m_{\pi/K}^2}$$



- È sempre presente un fondo di ν_e ($\sim 1\%$) provenienti da $K \rightarrow e + \pi + \nu_e$ (B.R. $\sim 5\%$)
- $\sim 1\%$ di ν_μ deriva da decadimenti a 3 corpi del K ($K \rightarrow \mu + \pi + \nu$ B.R. $\sim 3.2\%$)

3'

(*) Un po' di cinematica ...

Energia del v nel sistema di riposo
della particella "pennatore" (sistema S^*)

$$\epsilon_v^* = \frac{(m^2 - m_\mu^2)c^2}{2m}$$

$$E_\nu^* = 30 \text{ MeV per } m = m_{\bar{\pi}}$$

$$E_\nu^* = 236 \text{ MeV} \quad \text{per } m = m_k$$

Con una trasformazione di Lorentz
lungo la direzione del fascio,
l'energia del v nel sistema di laboratorio
è legata a E^* da:

$$E_\nu = \gamma E_\nu^* (\beta \cos \delta^* + 1)$$

θ^* = angolo di decadimento del v
rispetto alle direzioni del fascio
in S^*

I decadimenti di K^+ sono isotropi in s*

→ distribuzione di ξ , piatta in cost*

$$\mu \nu \beta = 1 \quad E_\nu^{\max} = 2\gamma E_\nu^* = \begin{cases} 0.43 E_0 \\ 0.95 E_K \end{cases}$$

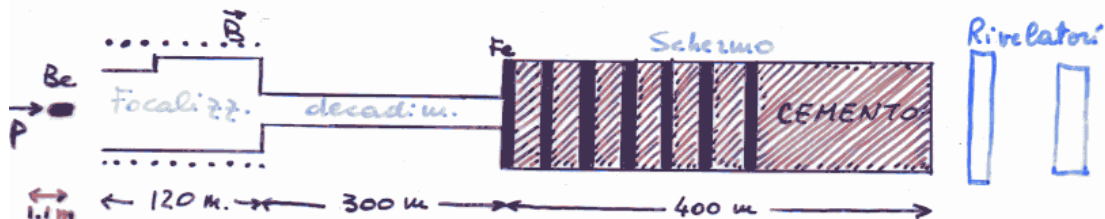
Tra le varie modali nel bersaglio con la stessa distribuzione di energia

parte bassa dello specchio: v da π
alta v da k

- (4)
- ① I protoni di un acceleratore (al SPS : 10^{13} p/puls) colpiscono un bersaglio producendo adroni

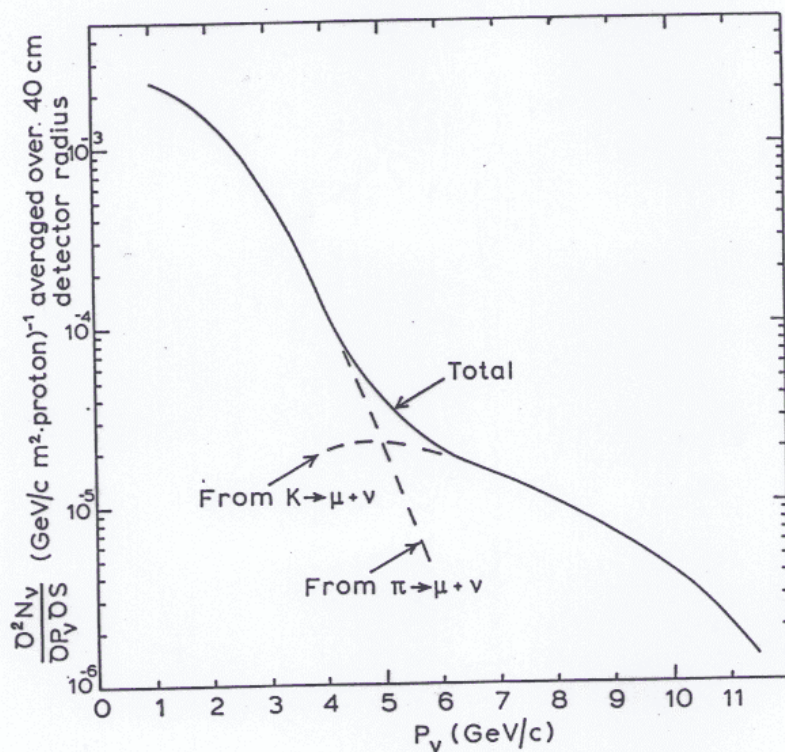
gli adroni prodotti :

- ② vengono selezionati in segno e quantità di moto
 - ③ passano in un "tunnel" di decadimento
 - ④ quelli sopravvissuti entrano, insieme con le particelle prodotte nei decadimenti (altri adroni + μ + neutrini) in un'atmosfera di Fe e cemento
- ⇒ IN USCITA SOLO ν_μ (E ALCUNI $\bar{\nu}_\mu$ PRODOTTI NELLE LORO INTERAZIONI)



Notare :

- i fasci di ν sono più intensi dei corrispondenti fasci di $\bar{\nu}$ (più probabile la produzione di adroni positivi)
- fondo di ν in fasci di $\bar{\nu}$ maggiore del fondo di $\bar{\nu}$ in fasci di ν
- i neutrini prodotti da $K \rightarrow \mu + \nu$ hanno energia più alta (ma sono una frazione piccola)



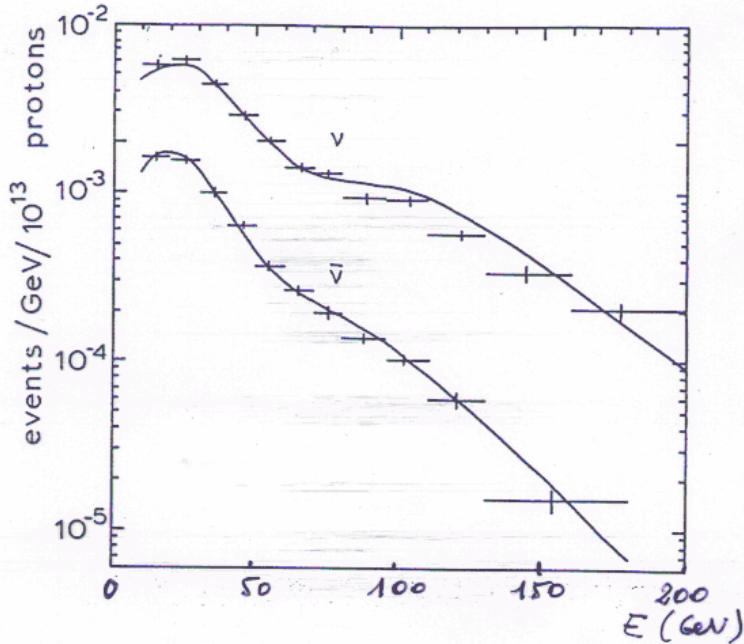
① Gli adroni vengono selezionati SOLO in
SEGNO

⑥



WIDE BAND BEAM (Fascio a banda) large

scopo: ottenere la più alta intensità possibile



$$(E_\nu)_{\text{media}} = \frac{E_p}{10}$$

FONDI

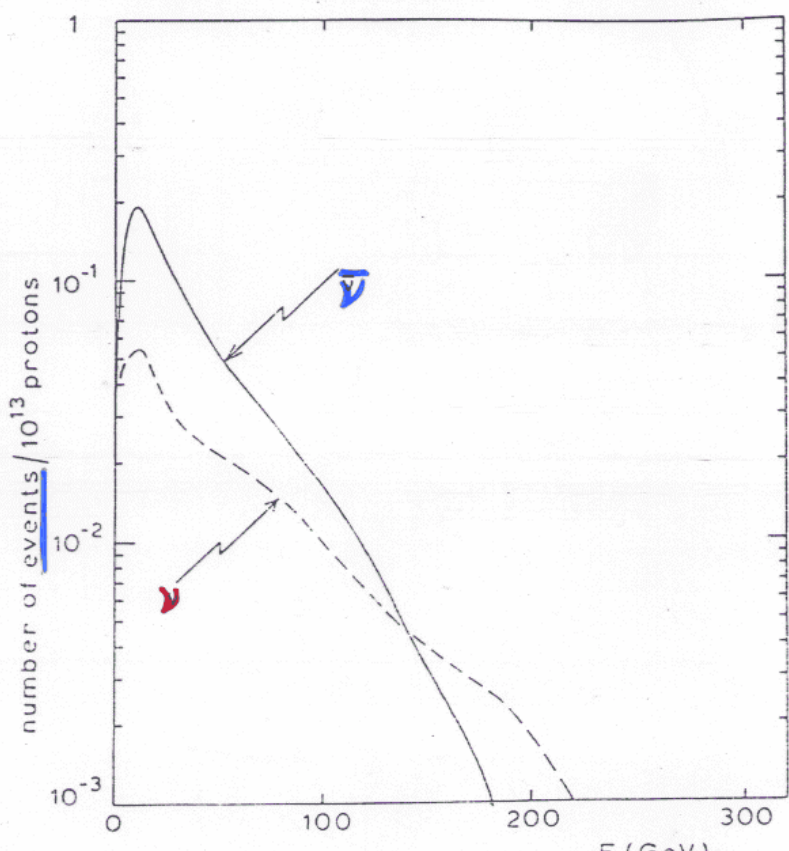
FASCI DI ν_μ

$\bar{\nu}_\mu$

ν_e	0.5 %	0.2 %
$\bar{\nu}_e$	0.05 %	0.5 %
$\bar{\nu} \text{ in } \nu$ e viceversa	0.2 %	1 %

Attese: $\delta_\nu \approx 3\delta_{\bar{\nu}}$ quindi il fondo
di interazioni di ν in quelle di $\bar{\nu}$ è $\sim 3\%$

(6)



Spettro d'energia degli antineutrini e fondo di neutrini

② Gli adroni vengono selezionati in ^⑦
SEGO e in **QUANTITA' DI MOTO**

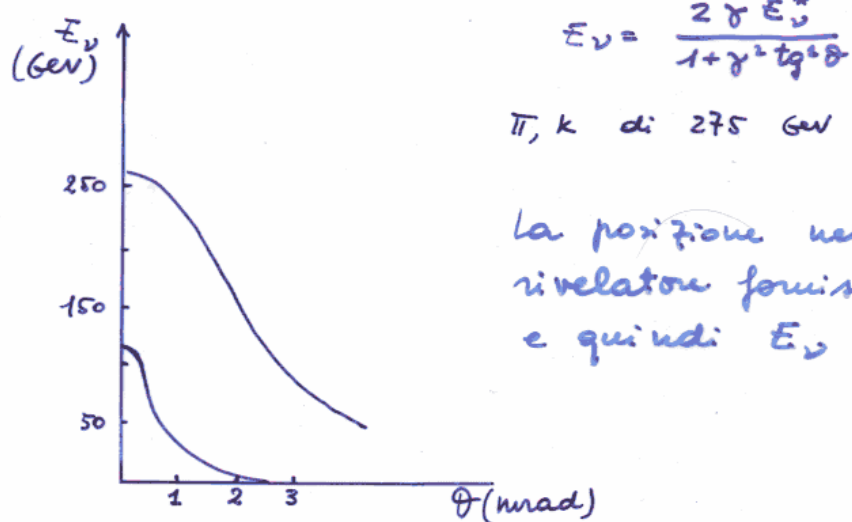


NARROW BAND BEAM (*fasci di ν "monocromatici"*)

Fascio iniziale angolato rispetto al rivelatore

→ SOLO GLI ADRONI SELEZIONATI IN QUANTITA'
 DI MOTO "VEDONO" IL RIVELATORE

Provenendo da decadimento a due corpi:
 (99.9% ν da π , 90% ν da k): $E_\nu = f(\theta)$



Ma: l'intensità di questi fasci è ~ 100 volte
 minore di quella dei fasci non
 monocromatici

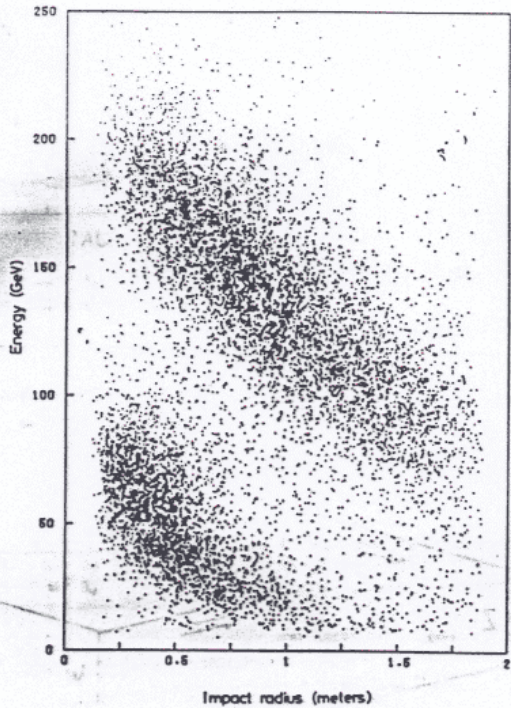


Fig. 10 Relation between the energy and the radial coordinate of the interaction point of CC events as measured by the CDHS Collaboration. The lower-energy concentration of dots corresponds to pion decay, the higher energy one to kaon decay.

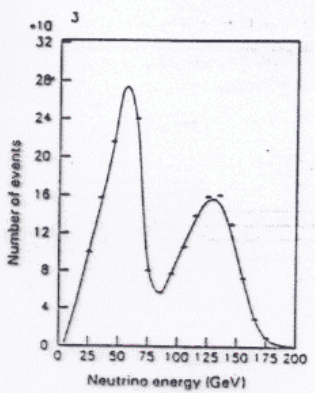


Fig. 11 Projection of Fig. 10 on the energy axis

"MISURA" DEL FLUSSO DI ν

→ MISURA DEI μ CHE
ACCOMPAGNANO I ν

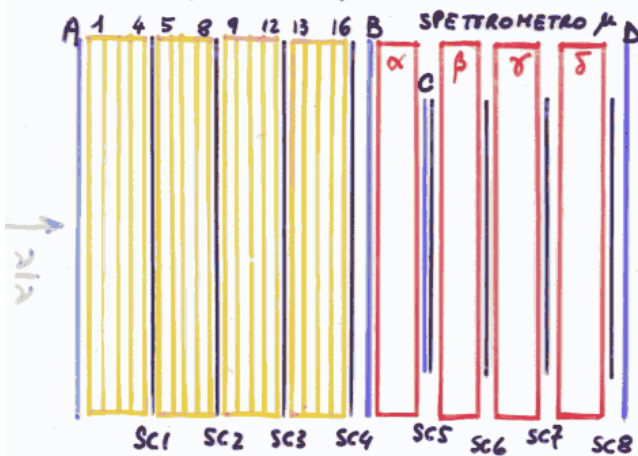
+ MONTE CARLI

(9)

RIVELATORI per NEUTRINI :

- Bersaglio di grande massa (tonnellate)
- Rivelatore \equiv bersaglio
- Separazione μ/adroni

Esempio : apparato di NAL 1A (1973-74)



1...16 scintillatori
 SC1...8 camere a scintilla
 A,B,C,D scintillatori
 $\alpha \dots \delta$ magneti

scintillatori \rightarrow tempi
 dE/dx
 camere \rightarrow posizione
 + magneti $\rightarrow p_\mu$

trigger : deposito di energia nei 16 scintillatori
 $> E_T$

registrati per ogni evento : E depositata in ogni segmento
 posiz e tempi di A...D

RIVELATORE "STORICAMENTE" MOLTO IMPORTANTE
NELLA FISICA DEI NEUTRINI: (91)

CAMERA A BOLLE

Contenitore con liquido mantenuto a riposo (non in ebollizione) mediante alte pressioni (con H_2 : $27^\circ K$, 6 atm)

Se la pressione viene abbassata rapidamente al di sotto della pressione di equilibrio di vapore corrispondenti a quelle temperature si crea una situazione instabile di liquido surriscaldato che provoca la formazione di bolle di gas.

Le bolle si formano di preferenza lungo il percorso delle particelle cariche che, durante l'espansione, si trovano a passare per la camera.

Le bolle, e quindi le particelle, possono venire fotografate.

Subito dopo la pressione viene riportata al valore iniziale per impedire che tutto il liquido entri in ebollizione.

ESPANSIONE, ILLUMINAZIONE DELLA CAMERA CON I FLASH E FOTOGRAFIE VENGONO SINCRONIZZATI CON GLI IMPULSI DEL FASCIO E QUINDI CON IL PASSAGGIO DELLE PARTICELLE



ESPERIMENTI PER STUDIARE

I NEUTRINI

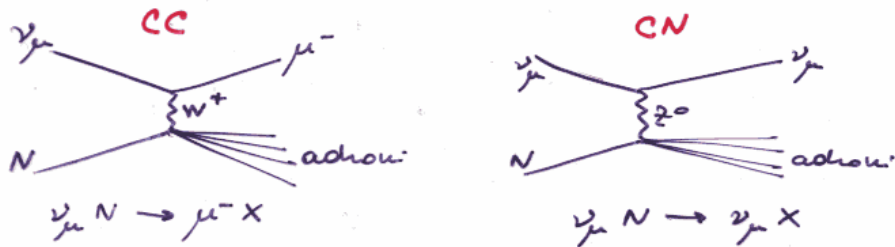
E LA LORO INTERAZIONE

- $\nu_\mu \neq \nu_e$
 - sezioni d'urto $\propto E_\nu$
 - - correnti neutre / correnti cariche
 - $u_\nu \neq 0$ mixing diretta
oscillation
-

(1)

ESPERIMENTI PER STUDIARE I NEUTRINI E LA LORO INTERAZIONE (INTER. DEBOLE)

ESEMPIO : "CORRENTI NEUTRE"



- Le correnti neutre erano state cercate nei decadimenti:
es. $K^0 \rightarrow \mu^+ \mu^-$; $K^+ \rightarrow \pi^+ \mu^+ \mu^-$...
e non erano state trovate
- Gli esperimenti su ν erano più difficili
(un evento $\nu N \rightarrow \nu X$ non è distinguibile
da $n N \rightarrow n X$)
- Si era concluso che le C.N. non esistono
anche se la teoria le prevedeva



- ① ESPERIMENTI PER DIMOSTRARE
L'ESISTENZA DELLE CORRENTI NEUTRE
- ② ESPERIMENTI PER LA MISURA
DEI PARAMETRI DELLA TEORIA

Un po' di storia:

(H)

TEORIA:

- 1957 ... 1961 Inizio del tentativo sistematico di unificare teoria e.m. e debole (Schwinger, Bludman, Glashow)
- 1964 Weinberg - Salam: necessità dell'esistenza di correnti deboli neutre
- 1968 Dimostrazione che la teoria è renormalizzabile (t'Hooft)
- 1970 Glashow - Gopulos - Maiani: modello con 4 quarks $\rightarrow NC$ con $AS \neq 0$ sono sfavorite

ESPERIMENTI:

- 1960 - 62 Esperimento $\nu_e \neq \nu_\mu$ (Columbia - Brookhaven)
~ 50 eventi $\nu_\mu + n \rightarrow \mu^- + p$
 $\mu^- + p + n^0$
alcuni eventi sotto μ : pensavano a fondo di neutroni \rightarrow non vennero studiati.
- 1963 - 64 Esperimento CERN con camera a bolle di 1.2 m: tesi di E.C.M. Young
fondo di neutroni = 3 volte previsto
Memorandum non pubblicato di Perkins:
 $NC/CC \approx (17 \pm 6) \%$
Però al Congresso di Siena $\frac{G(\nu p \rightarrow \nu p)}{G(\nu n \rightarrow \mu^- p)} < 3\%$
- 1973 Esperimento CERN con camera a bolle GARGAMELLE ($l \approx 4.8$ m)
• evidenze di eventi di corrente neutra
• rapporto NC/CC non piccolo
- 1974 $T/4$ d'accordo con il modello GIM

VERIFICHE DEL MODELLO STANDARD
CON CORRENTI NEUTRE

(4)

① ESISTENZA DELLE CORRENTI NEUTRE

$$\begin{array}{l} \nu_\mu N \rightarrow \nu_\mu X \\ \bar{\nu}_\mu e \rightarrow \bar{\nu}_\mu e \end{array} \quad \left. \right\} \text{GGM (CERN) 1973}$$

Scattering di e^- polarizzati su Δ_2 (SLAC, 1978)

② MISURA DEI PARAMETRI DELLA TEORIA
Esperimento CHARM (CERN)

CC:

$$\begin{array}{l} \nu_\mu N \rightarrow \mu^- X \\ \bar{\nu}_\mu N \rightarrow \mu^+ X \\ n \rightarrow p e^- \bar{\nu} \end{array}$$

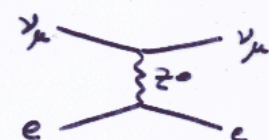


NC:

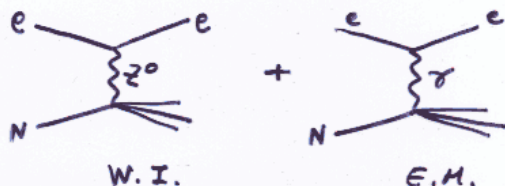
$$\begin{array}{l} \nu_\mu N \rightarrow \nu_\mu X \\ \bar{\nu}_\mu N \rightarrow \bar{\nu}_\mu X \end{array}$$



$$\begin{array}{l} \nu_\mu e \rightarrow \nu_\mu e \\ \bar{\nu}_\mu e \rightarrow \bar{\nu}_\mu e \end{array}$$



$$e^- N \rightarrow e^- X$$

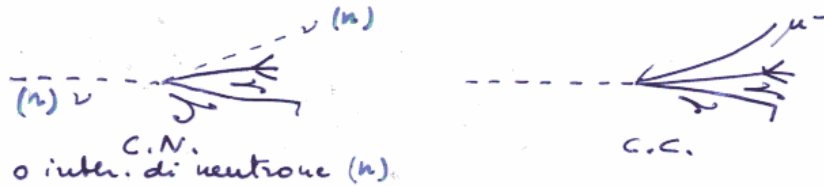


NON ESISTONO CORRENTI NEUTRE CON $\Delta S = 1$

(es. $K^0 \rightarrow \mu^+ \mu^-$; $K^+ \rightarrow \pi^+ \mu^+ \mu^-$; $K^+ \rightarrow \pi^+ e^+ e^- \dots$)

→ TEORIA G.I.M.

① SCOPERTA DELLE CORRENTI NEUTRE
(Camera a bolle Gargamelle, 1972)



C'era un pregiudizio: C.N. << fondo di neutroni

Risultato (primavera 1973):

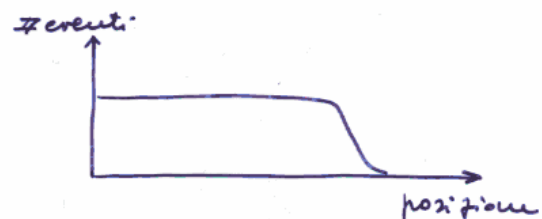
Tipo di evento	Fascio ν	Fascio $\bar{\nu}$
eventi senza μ	102	64
eventi con μ	428	148

Scoperta o fondo?

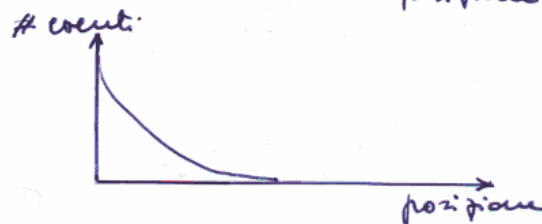
→ Verifica su distribuzione dei vertici lungo la camera

Lunghezze di interazione: $\lambda_\nu \sim \infty$
 $\lambda_n \approx 70\text{ cm}$

Eventi indotti da neutrini

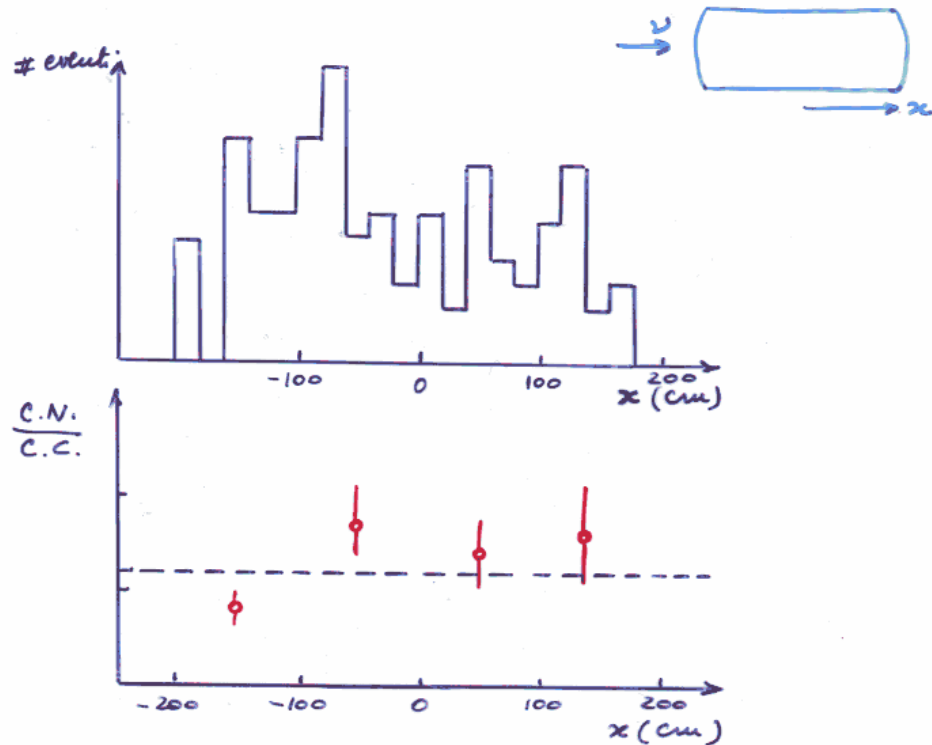


Eventi indotti da neutroni

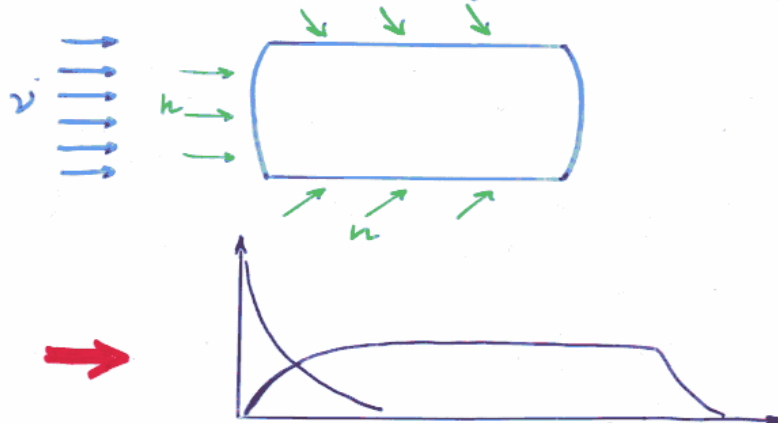


RISULTATO Sperimentale:

(13)



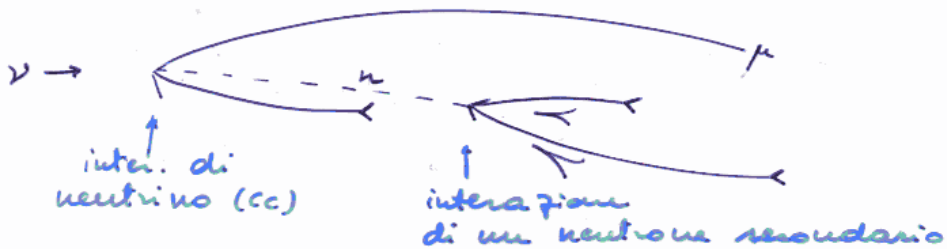
Ma: possibile spiegazione alternativa:



→ necessario calcolare numero assoluto di neutrioni nel fascio di ν
molto difficile → necessario un controllo

Per il controllo sono stati usati gli eventi "associati"

(14)



Una interazione di neutrone può apparire come :

associata (AS)
non-associata (B)

Metodo :

Contare gli eventi associati (# AS)

Calcolare $\frac{B}{AS}$ (più facile da calcolare del valore assoluto)

$$\rightarrow \# B = \frac{B}{AS} \# AS$$



Confrontare # B con # eventi senza μ

RISULTATO :

$$\left. \begin{array}{l} \frac{B}{AS} = 0.6 \pm 0.3 \\ \# AS = 15 \end{array} \right\} \Rightarrow \# B = 9 \pm 4.5$$

mentre il numero di eventi senza μ era 102

CONCLUSIONE : le correnti neutrili esistono !

② MISURA DEI PARAMETRI DELLA TEORIA (15)

→ NECESSARIA ALTA STATISTICA



ESPERIMENTI DI "SECONDA GENERAZIONE"

(contatori elettronici "triggerabili";
dati registrati su calculatori in linea
→ selezione degli eventi, calcolo dei
parametri, valutazione del fondo)

(ESPERIMENTI CDHS, CHARM, ...)

CDHS : Massa totale 1250 t

" fiduciale" 750 t

Misura: energia totale degli adroni:
direzione e \vec{p} dei μ } con
Eadroni/ E_ν , (E_ν puri NBB) } grande
statistica

la teoria delle interazioni deboli è descritta
da un parametro: angolo di Weinberg (θ_W)
che entra nelle formule come $\sin^2 \theta_W$:

$$R = \frac{\bar{G}^{DN}(Nc)}{\bar{G}^{DN}(cc)} = \frac{1}{2} - \sin^2 \theta_W + \frac{20}{27} \sin^4 \theta_W$$

$$\bar{R} = \frac{\bar{G}^{DN}(Nc)}{\bar{G}^{DN}(cc)} = \frac{1}{2} - \sin^2 \theta_W + \frac{20}{9} \sin^4 \theta_W$$

QUESTA MISURA NON DIPENDE DALLA
VALUTAZIONE DEI FLUSSI

CDHS

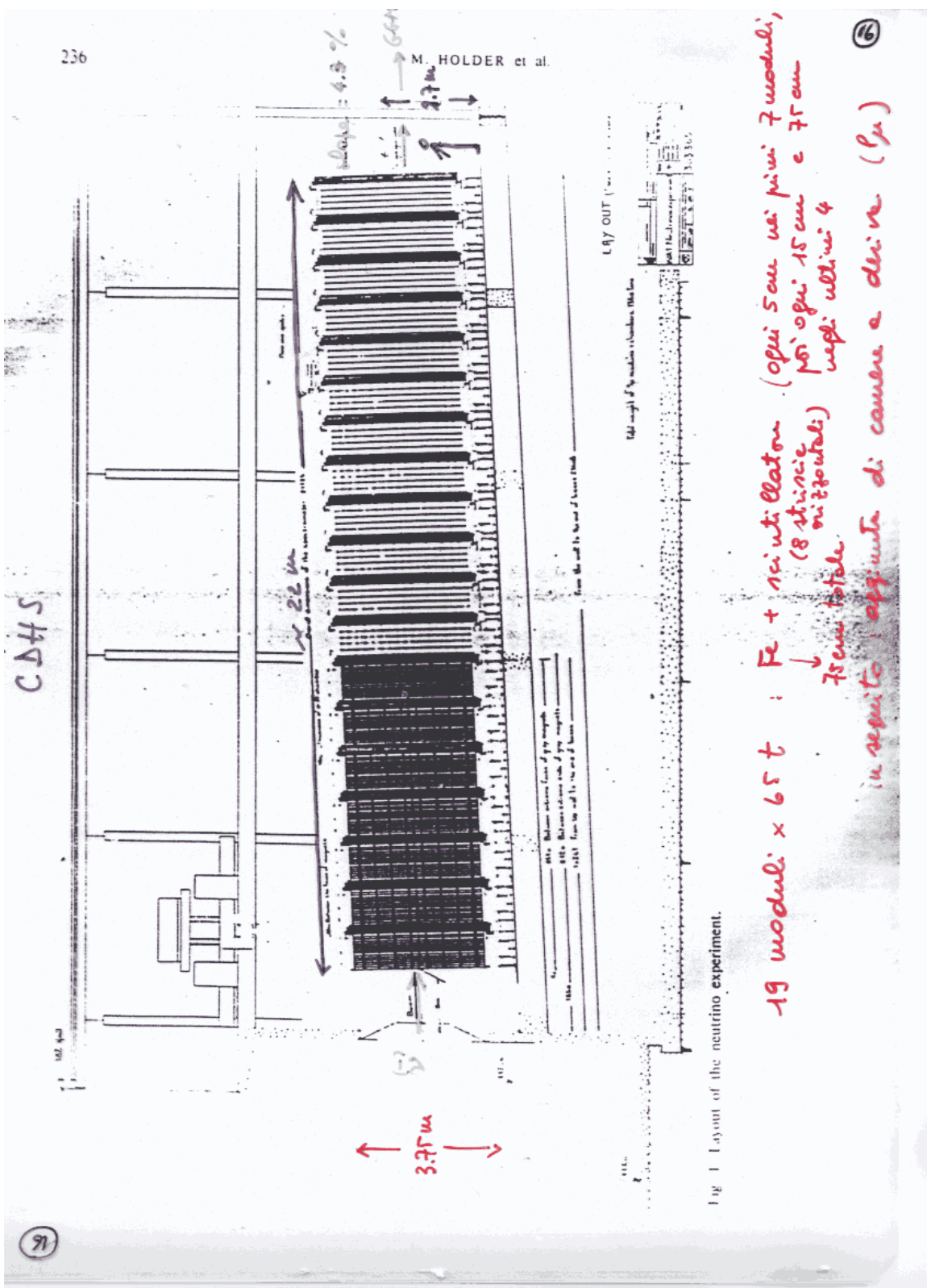


Fig. 1 Layout of the neutrino experiment.

19 moduli \times 65 t : Fe + scintillator (ogni 5 m nei piani 7 moduli,
 (8 strati) poi ogni 15 cm e 75 cm
 75 cm totale.
 negli ultimi 4
 in seguito : appunto di carica a drive (μ)

⑥

SELEZIONE DEGLI EVENTI:

(+)

- $E > 12 \text{ GeV}$ ($E = \text{energia depositata nel rivelatore}$)
- tagli geometrici per ridurre il fondo di neutrini e di raggi cosmici
- Separazione NC/CC in base alla lunghezza^l dello sciamo (spazio di tempo tra il vertice e l'ultimo scintillatore che dà segnali)

CORREZIONI:

- Raggi cosmici: da eventi "fuori tempo"
- CC: extrapolazione (Montecarlo) da eventi con L molto grande (+ sicuri)
- $k\epsilon_3$: si calcola conoscendo k/π e probabilità di decadimento $k \rightarrow \pi e \nu$ (10% v 5% $\bar{\nu}$)

RISULTATI:

	Fascio	
	ν	$\bar{\nu}$
Eventi di corrente neutra	8074 ± 156	2203 ± 130
Eventi di corrente carica	27603 ± 211	6378 ± 123
NC/CC	0.293 ± 0.010	0.35 ± 0.03

$$\rightarrow \sin^2 \theta_W = 0.253 \pm 0.010 \pm \dots$$

ESPERIMENTI PIÙ RECENTI

(c di energia più elevata)

CDHS (w)

CHARM (II)

- fascio Narrow band $\rightarrow E_\nu$
- grande Massa \rightarrow statistica elevata
- ottima riconoscibilità del μ
- ottima misura dell'energia adronica

$$\text{CHARM} \rightarrow \sin^2 \theta_W = 0.235 \pm 0.005 \text{ (exp)} + 0.005 \text{ (theor)}$$

per $m_T = m_H = 100 \text{ GeV}$

$$\text{CDHSW} \rightarrow \sin^2 \theta_W = 0.226 \pm 0.005 \text{ (exp)} \pm 0.005 \text{ (theor)}$$



$$\sin^2 \theta_W = 0.230 \pm 0.004 \text{ (exp)} + 0.005 \text{ (theor)}$$

da confrontare con

$$\sin^2 \theta_W = 0.28 \pm 0.03$$

I NEUTRINI SONO PARTICELLE ELEMENTARI
" HANNO SOLO INTERAZIONE DEBOLE

三

permessono di studiare nel modo più diretto possibile la struttura delle particelle (≡ nuclei) con cui interagiscono

Modelli a quark dei nucleoni:

$$p : \begin{array}{ccc} u & u & d \\ 2/3 & 2/3 & -1/3 \end{array} \quad + \text{"more"} \quad (q\bar{q})$$

$$n : \begin{array}{ccc} u & d & d \\ 2/3 & -1/3 & -1/3 \end{array}$$

Negli eventi di corrente carica

✓ interagisce solo con quarks carichi -
 (per conservazione di numero leptónico
 si deve produrre un μ^-)

$\bar{\nu}$ interagisce solo con quarks carichi +
 ($\bar{\nu}$ deve produrre un μ^+)

$$\bar{R} = \frac{\overline{b_n}}{\overline{b_p}} = 0.5 \text{ per } \bar{v}$$

$\frac{n}{p} = \frac{\text{udd}}{\text{uud}}$

Deviazioni da questi valori \rightarrow contributo dei quarks del "nuovo"

Separazione eventi su p e su n
(bersaglio più semplice: Δ_2)

Su p: numero di secondari carichi dispari

Su n: " " " " " pari

Correzioni: negli eventi dispari c'è un fondo di eventi su n con proton "spettatore"

Risultati:

$$\bar{B}_n / \bar{B}_p$$

$$0.53 \pm .02 \pm .03$$

$$\bar{B}_n / B_p$$

$$2.10 \pm .08 \pm .22$$

Si può andare più a fondo:

$$\bar{R}(x) = \frac{\frac{1}{3} \times u(x) + x \bar{d}(x) + x \bar{s}(x)}{\frac{1}{3} \times d(x) + x \bar{u}(x) + x \bar{s}(x)}$$

$$\frac{1}{R}(x) = \frac{\frac{1}{3} \times \bar{d}(x) + x u(x) + x s(x)}{\frac{1}{3} \times \bar{u}(x) + x d(x) + x s(x)}$$

$$v = E_\nu - E_\gamma$$

$$x = \frac{Q^2}{2Mv}$$

(frazione di
p_n portata dal
quark)

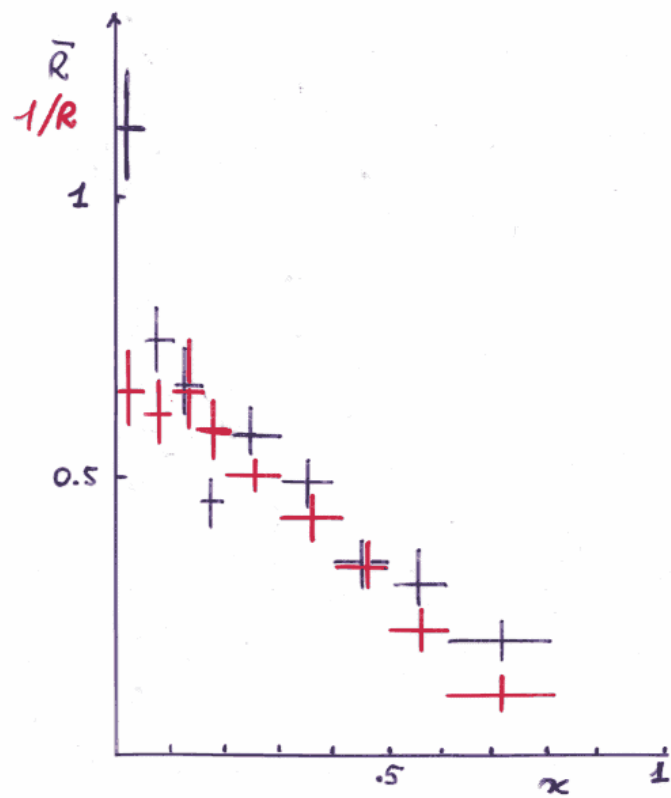
$u(x) \quad d(x) \dots =$
densità dei
quark u, d, ...
nel nucleone

→ studio di R e \bar{R} in funzione di x

(il contributo dei quark del mare
è più importante a x piccoli)

→ a x ~ 0 $\bar{R} > 1/R$

(20)



LA TEORIA DELLE INTERAZIONI DEBOLI ACCETTA
 $m_\nu = 0$ MA ANCHE $m_\nu \neq 0$

CI SONO ARGOMENTI PER SUPPORRE $m_\nu \neq 0$

- "ESTETICA" \rightarrow SIMMETRIA QUARK-LEPTONI
- RAGIONI COSMOLOGICHE (MATERIA OSCURA)

LIMITI Sperimentali:

$$m_{\nu_e} < 30 \pm 10 \text{ eV}/c^2$$

$$m_{\nu_\mu} < 0.57 \text{ MeV}/c^2$$

$$m_{\nu_\tau} < 250 \text{ MeV}/c^2$$

Se $m_\nu \neq 0$ sono possibili "oscillazioni di ν "

$$P(\nu_\mu \rightarrow \nu_e) = \sin^2 2\theta \sin^2 \left(\frac{1.27 \Delta m^2 L}{E} \right)$$

L = distanza (in m) dalla sorgente di ν

E = energia del fascio (in MeV)

1.27 = costante che va introdotta per
vuole esprimere Δm^2 in $(\text{eV}/c^2)^2$

\rightarrow il numero di $\nu_\mu + \nu_e$ per unità di
lunghezza (intensità) oscilla lungo L

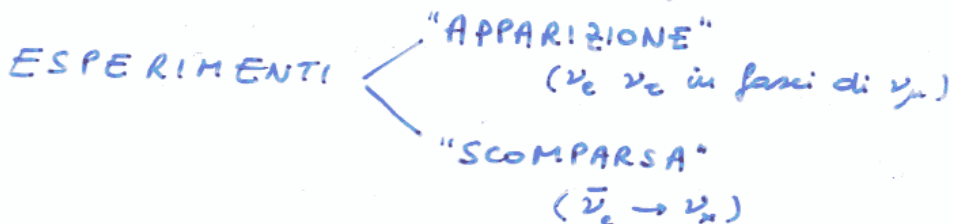
$P(\nu_\mu \rightarrow \nu_e)$ dipende da 2 parametri: $\sin^2 2\theta$ e m_ν^2

\rightarrow il risultato degli esperimenti consiste
nell'escludere (o accettare) una regione
del piano $\sin^2 2\theta$, m_ν^2

Migliore limite su $\sin^2\theta$ e m_1 , se il rivelatore è
a una distanza tale da "vedere" la
prima oscillazione. (22)

$$1.27 \frac{L}{E_\nu} \Delta m^2 = \pi/2$$

$$\rightarrow \Delta m^2 = 1 \text{ eV}^2 \text{ se } \frac{L}{\langle E_\nu \rangle} \sim 1$$



$$\begin{array}{l} \text{limite su } \tan^2 2\theta \propto 1/N \\ \text{ " " } \Delta m^2 \propto 1/\sqrt{N} \end{array} \left. \right\} \begin{array}{l} \text{esperimenti di} \\ \text{"apparizione"} \end{array}$$

$$\left. \begin{array}{l} \text{limite su } \sin^2 2\theta \propto 1/\sqrt{N} \\ \text{limite su } \Delta m^2 \propto 1/\sqrt{N} \end{array} \right\} \begin{array}{l} \text{esperimenti di} \\ \text{"Scoropassar"} \end{array}$$

$N = n^{\circ}$ eventi

→ necessarie grandi statistiche (fasci γ_μ)

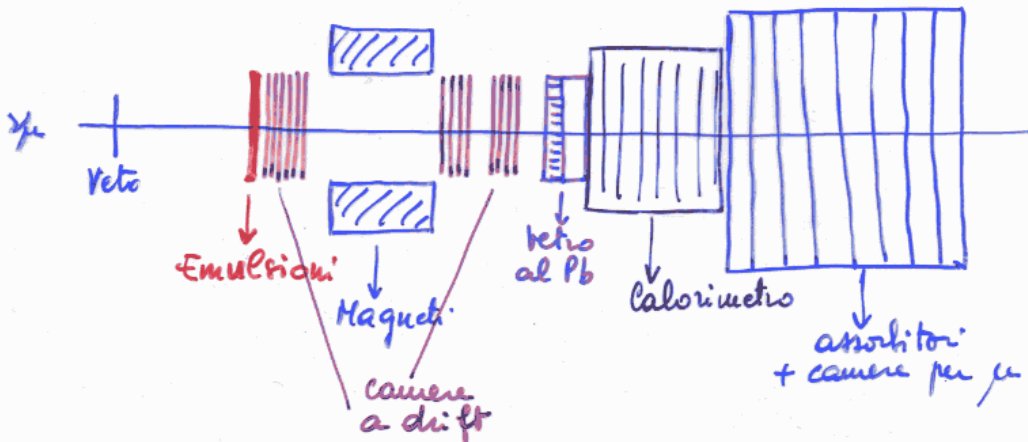
→ migliore limite con esperimenti di "apparizione"

I fasci di ν_μ non sono mai puri, ma contengono altri tipi di ν ($\sim 5\%$ di $\bar{\nu}_\mu + \nu_e + \bar{\nu}_e$)

→ ricerca di oscillazioni $\nu_\mu \rightarrow \nu_e$ più sicura

E 531 (Fermi - lab)
 (Collaborazione USA - Giappone)

Progettato per rivelare decadimenti di charme
 Usato per cercare decadimenti di τ (vita media
 simile a quella delle particelle con charme)



Procedimento: per tutte le interazioni di ν
 seguono all'indietro le tracce cariche

Efficienza di ritrovamento: $90 \div 95\%$

3886 interazioni di $\nu \rightarrow 104$ decadimenti

Fra i decadimenti hanno cercato i τ :

	Tagli applicati	Decadimenti rivelati
elimina scattering Coulombiano	$P_T > 125 \text{ MeV}/c$ (Kinks)	104
90% ν , 10% $\bar{\nu}$ + favorito τ^-	particella negativa	25
vento di cc ν_μ	attesa di μ "prompt"	3
limite interat. scattering	$P > 2.5 \text{ GeV}/c$	0

Se ci fossero stati τ^- , 95% avrebbe passato questi tagli

(24)

0 eventi osservati \rightarrow limite di 2.3 eventi al 90% c. e.

(la probabilità che una nuova misura dia come risultato n° eventi < 2.3 è almeno 90%)

$$1870 \text{ eventi con } \mu^- \Rightarrow R_{\text{raw}}(\mu^-) < \frac{2.3}{1870} = 0.0012 \quad (90\% \text{ c. l.})$$

$$53 \text{ eventi con } e^- \Rightarrow R_{\text{raw}}(e^-) < \frac{2.3}{53} = 0.043$$

R = probabilità che un $\nu_\mu(\bar{\nu}_e)$ oscilli in ν_e

R_{raw} va corretto per tener conto che a seconda del tipo di neutrino variano:

- le sfide d'urto
- l'ancoranza
- la efficienza di ricostruzione
- l'efficienza di ritrovamento

Correzioni: valutate con montecarlo

$$\Rightarrow R(\mu^-) = 0.002 \quad 90\% \text{ c.l.}$$

$$R(e^-) = 0.073$$

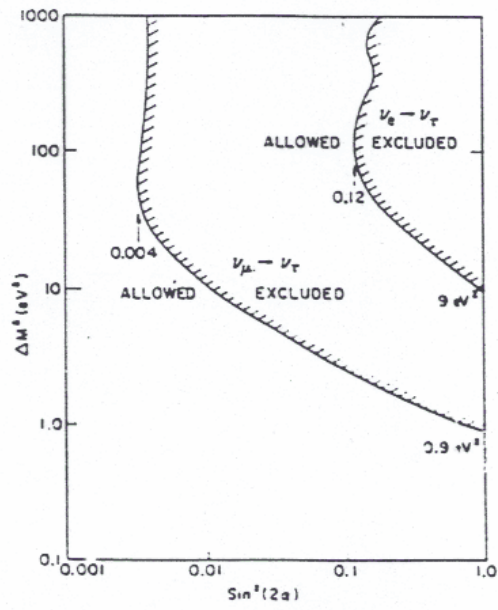


FIG. 2. ΔM^2 vs $\sin^2(2\alpha)$ plane. The curves show the 90%
C.L. limits for $\nu_\mu/\nu_e \rightarrow \nu_\tau$ oscillations.

ESPERIMENTI DI SCOMPARSA

(26)

2 rivelatori a diverse distanze
(es. ~ 100 m e ~ 800 m)

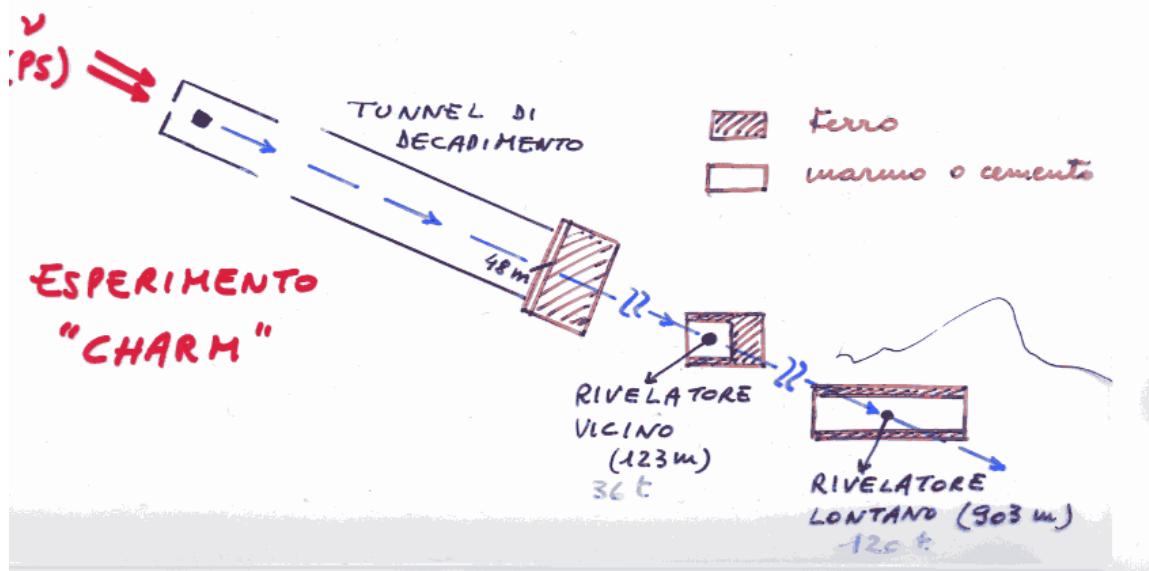
Per un esperimento ideale:

$$\frac{N_2}{N_1} \left(\frac{L_2}{L_1} \right)^2 \frac{M_2}{M_1} = 1 \quad \text{in assenza di oscillazioni}$$

Il risultato sperimentale va corretto

per:

- differenza in spettro E_ν (angoli \neq)
- produzione di adroni secondari che decadono in ν (n^o dipende da L)
- efficienze dei rivelatori



ESPERIMENTI SULLE OSCILLAZIONI DI ν IN CORSO (o IN PROGETTAZIONE)

(27)

CHORUS

$$\nu_\mu \rightarrow \nu_e$$

- il decadimento del τ viene cercato in emulsione
- l'evento viene identificato da un apparato esterno

NOMAD

$$\nu_\mu \rightarrow \nu_e$$

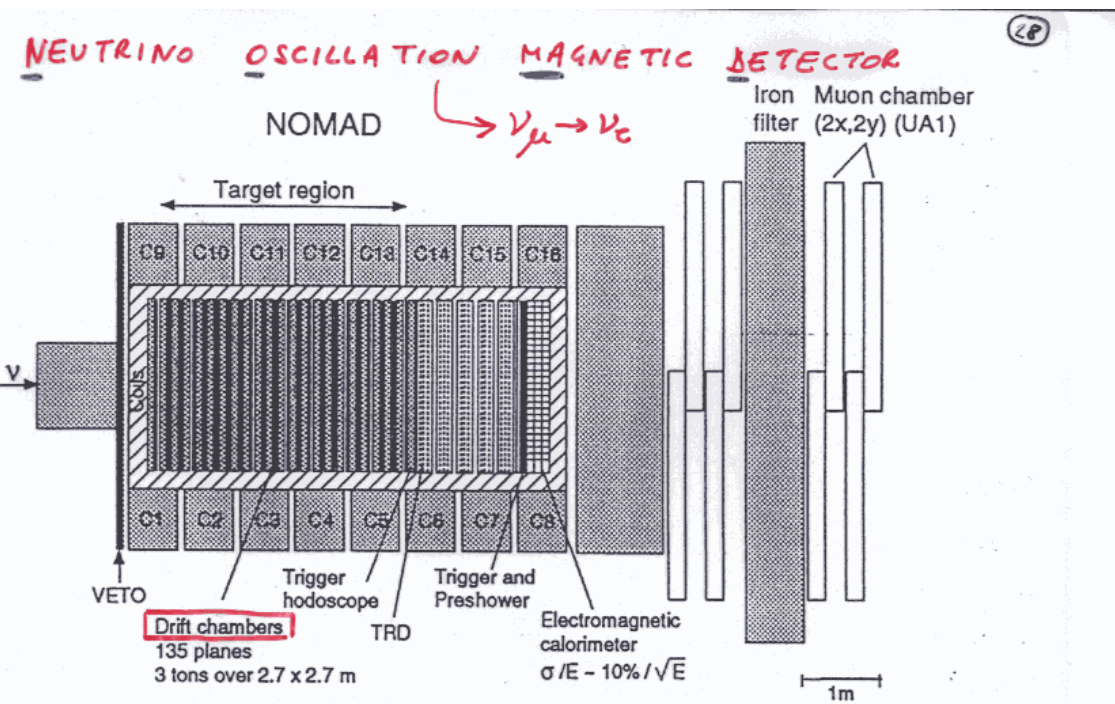
L'apparato è costruito in modo tale da identificare decadimenti del lepton τ

$$\tau^- \rightarrow \nu_e + \pi^-$$

$$\nu_e + p^-$$

$$\nu_e + \pi^- + \pi^+ + \pi^-$$

$$\nu_e + e^- + \bar{\nu}_e$$



~ 3 ton Figure 25 : Schematics of the NOMAD Detector.

piani di canne e derive nel magneti di UA1

In base a criteri cinematici si riconoscono i decadimenti del τ

$$\begin{aligned} \nu_\tau + N &\rightarrow \tau^- + \dots \\ \hookrightarrow \tau^- &\rightarrow \nu_\tau + \pi^- \quad (11\%) \\ \nu_\tau + \rho^- &\quad (23\%) \\ \nu_\tau + \pi^+ \pi^- \pi^- &\quad (14\%) \\ e^- + \nu_e + \bar{\nu}_e &\quad (17.5\%) \\ \mu^- + \nu_\mu + \bar{\nu}_\mu &\quad (17.5\%) \end{aligned}$$

CERN HYBRID OSCILLATION RESEARCH APPARATUS

Esempio di "comparse" $\nu_\mu \rightarrow \nu_\tau$

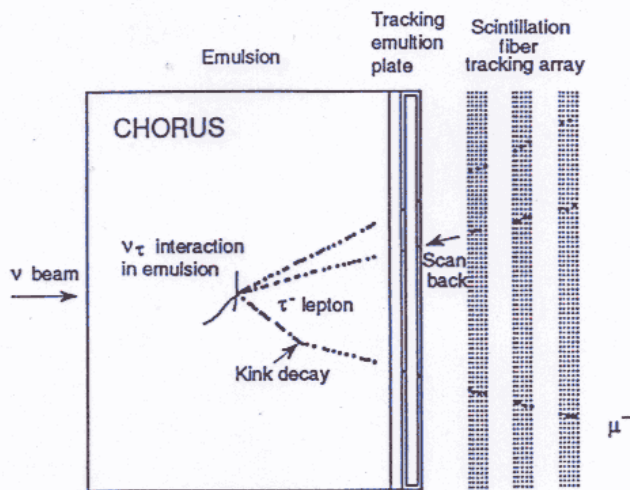


Figure 24 : Reconstruction of a ν_τ interaction in CHORUS.

I ν_τ prodotti direttamente dagli adroni

(es. $pN \rightarrow D_s + \dots$) sono una
 $\hookrightarrow D_s \rightarrow \tau^- \nu_\tau$

frazione trascurabile ($\sim 10^{-7}$)

\rightarrow è possibile rivelare oscillazioni $\nu_\mu \rightarrow \nu_\tau$
 fino a questi limiti (10^{-7}) di sensibilità

- ③ Il decadimento del τ viene identificato da un "kink" sulla traccia del μ^-

Gli eventi in cui è più probabile che un τ sia stato prodotto vengono identificati con tagli cinematici.

Questi eventi vengono localizzati tracciando all'indietro i secundari carichi, rivelati nelle camere.

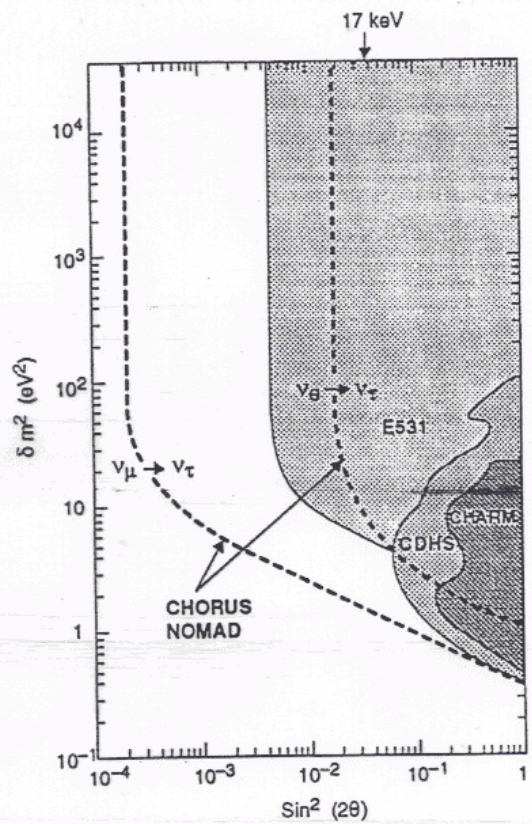


Figure 27 : Sensitivity of the CHORUS and NOMAD experiments for $\nu_\mu \leftrightarrow \nu_\tau$ and $\nu_e \leftrightarrow \nu_\tau$ oscillations.

IDEE PER IL FUTURO

(32)

- Con ν di energia molto alta, L è dell'ordine di centinaia di km.

→ Mandare il fascio di ν di un acceleratore su un rivelatore lontano

- sotto terra, per non avere fondo di raggi cosmici
- su rivelatori già esistenti (photon decay)

Rispetto a ν atmosferici, i fasci di ν offrono alcuni vantaggi:

- lo spettro di energie è conosciuto (e più limitato) e può essere variato
- Si possono avere fasci di ν e di $\bar{\nu}$
- E' nota la direzione → più facile eliminare il fondo
- Si conosce il tipo di ν ($\nu_\mu + \bar{\nu}_\mu$)
- L'intensità è più alta

Possibilità:

GRAN SASSO (rivelatore ICARUS)

KAMIOKANDE (Giappone)

DUMAND (Hawaii)

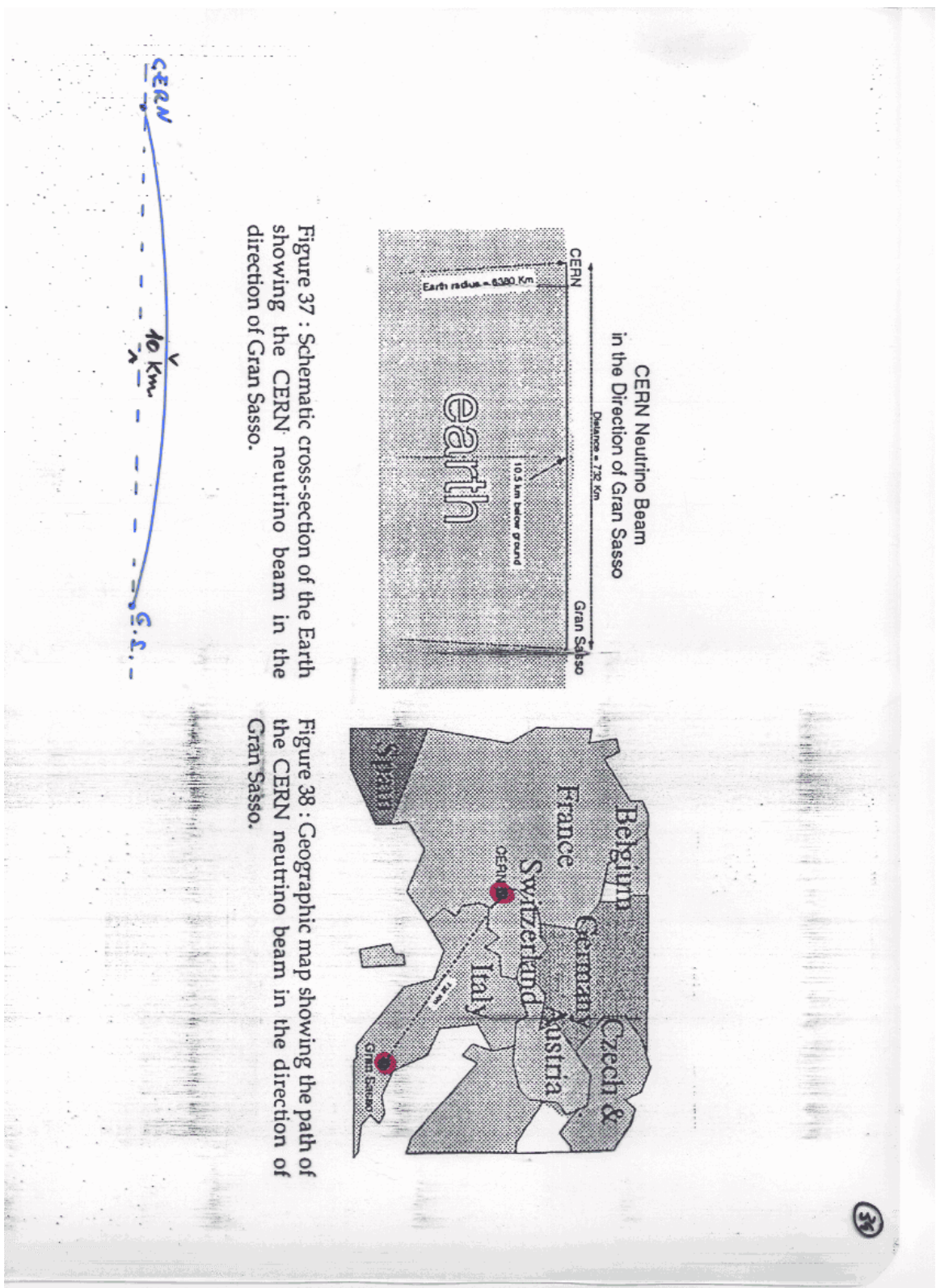


Figure 37 : Schematic cross-section of the Earth showing the CERN neutrino beam in the direction of Gran Sasso.

Figure 38 : Geographic map showing the path of the CERN neutrino beam in the direction of Gran Sasso.

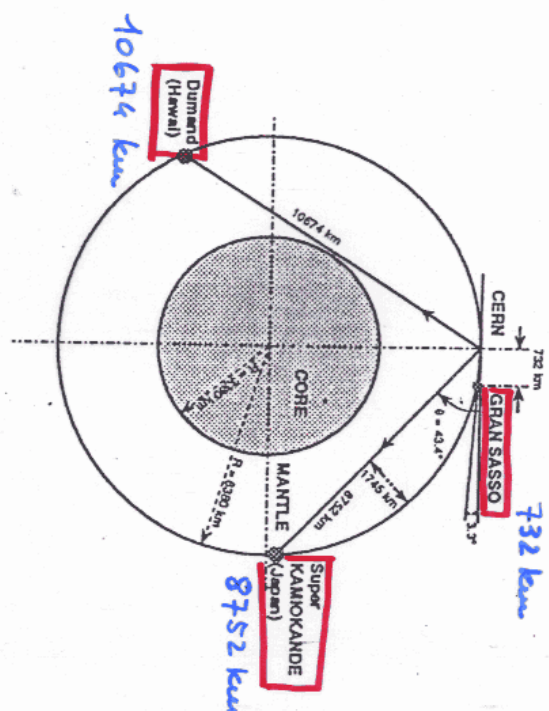
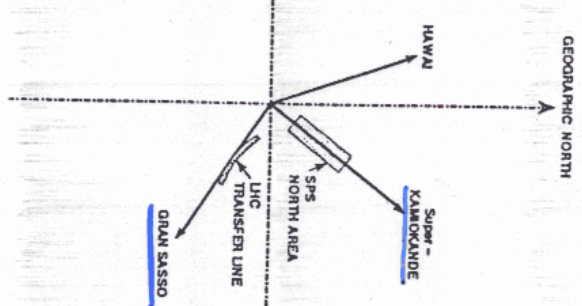


Figure 35 : Various possibilities of neutrino beams from CERN towards existing large neutrino detectors.

Figure 36 : Azimuthal directions at CERN of Duman, Superkamiokande and ICARUS.



GRAN SASSO } in phone
KAMOKANDE } direction

